

Список литературы

- [1] Розенман Г.И., Бойкова Е.И. ФТТ **20**, 8, 2498 (1978).
- [2] Розенман Г.И., Рез И.С., Чепелев Ю.Л., Сорокина Е.А., Бойкова Е.И. ФТТ **22**, 11, 3488 (1980).
- [3] Biedrzycki K. Phys. Stat. Sol. (a) **109**, 79 (1988).
- [4] Розенман Г.И. ФТТ **30**, 8, 2323 (1988).
- [5] Федосов В.Н., Лазарев А.П. Изв. АН СССР. Сер. физ. **48**, 6, 1143 (1984).
- [6] Федосов В.Н. ФТП **17**, 5, 941 (1983).

УДК 538.975

© Физика твердого тела, том 37, № 11, 1995
Solid State Physics, vol. 37, N 11, 1995

ОСОБЕННОСТИ МАГНИТОСОПРОТИВЛЕНИЯ МАГНЕТИТА

E.В.Бабкин, Н.И.Киселев, В.Г.Пынько

Институт физики им. Л.В.Киренского Сибирского отделения Российской академии наук,

660036, Красноярск, Россия

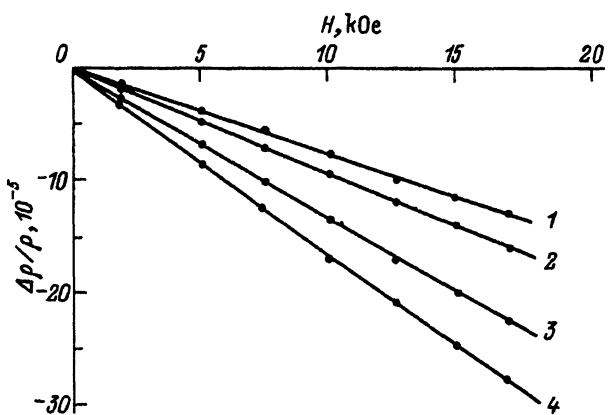
(Поступило в Редакцию 19 мая 1995 г.)

Исследования гальваномагнитных свойств магнитоупорядоченных веществ дают важную информацию об их зонной структуре, взаимосвязи магнитных и электрических свойств. По сравнению с ферромагнитными металлами гальваномагнитным свойствам оксидов уделено значительно меньшее внимание, что, по-видимому, связано с их достаточно высоким электросопротивлением. Тем не менее, как это следует из обзора [1], магнитосопротивление магнитоупорядоченных оксидов проявляет особенности, не свойственные металлам.

Исследования магнитосопротивления в магнетите показали, что поперечный и продольный эффекты имеют отрицательный знак и растут при понижении температуры [2]. Измерения были выполнены на образцах естественного магнетита в температурной области 300–400 К в интервале магнитных полей до 15 кОе. Эти результаты коррелируют с неопубликованными данными А.Н.Горяги и Л.А.Скипетровой [1]. Целью настоящей работы явилось исследование магнитосопротивления магнетита в более широкой температурной области.

Образцами для исследования были выбраны монокристаллические пленки магнетита толщиной 3–5 $\mu\text{м}$, осажденные методом химических транспортных реакций на подложки оксида магния. Технология получения и паспортизация образцов приведены в [3]. Измерения магнитосопротивления проведены в интервале магнитных полей до 17 кОе. Образцы размером $10 \times 6 \text{ mm}$ были помещены в держатель с выводами для питающих и измерительных приборов. Установка позволяет производить измерения электрических и гальваномагнитных свойств в температурном интервале 4.2–300 К.

Измерения выполнены на серии образцов. На рисунке приведены типичные результаты для температур 77 и 300 К. Как и в [2], характерной особенностью является уменьшение продольного и поперечного



Зависимость поперечного (1, 3) и продольного (2, 4) эффеクトов магнитосопротивления магнетита от напряженности магнитного поля при температурах 300 (1, 2) и 77 К (3, 4).

магнитосопротивлений в магнитном поле. Поперечный эффект измерен при ориентации магнитного поля в плоскости пленки.

Поскольку эффект магнитосопротивления близок к изотропному, причину указанного явления следует искать в анализе процессов рассеяния носителей тока, не зависящих от ориентации магнитного поля. Одним из механизмов этого явления может быть влияние магнитного порядка на процессы рассеяния. Следуя [4] (см., например, [5]), рассмотрим кристалл, в котором относительно широкая s -зона перекрывается с почти заполненной узкой d -зоной. Намагниченность при этом определяется как разность концентраций d -дырок с противоположными спинами за счет обменного расщепления подзон. Поскольку время релаксации рассеяния s -электрона на d -электроне обратно пропорционально плотности состояний, то соответственно без учета процессов переброса s -электроны с противоположными спинами будут вносить разный вклад в $s-d$ -рассеяние и, следовательно, в проводимость. Конечное выражение для сопротивления имеет вид [5]

$$\rho = c \left[\frac{1}{(1+z_0)^{1/3} + \alpha} + \frac{1}{(1-z_0)^{1/3} + \alpha} \right]^{-1}. \quad (1)$$

Здесь c — некоторая константа, α — отношение вероятностей $s-s$ - и $s-d$ -рассеяния, z_0 — относительная намагниченность.

Эффект магнитосопротивления в этой модели можно рассматривать как дополнительное расщепление d -подзон во внешнем магнитном поле. Поскольку магнитное поле намного меньше обменного, то можно показать, что относительная намагниченность линейна по полю

$$z = z_0 + \beta H. \quad (2)$$

Отсюда следует выражение для магнитосопротивления

$$\frac{\Delta\rho}{\rho} = \frac{A_1\varphi^2 - A_2\psi^2}{\varphi\psi(\varphi + \psi)}, \quad (3)$$

где

$$A_1 = 1/3\beta \frac{1}{(1+z_0)^{2/3}}, \quad A_2 = 1/3\beta \frac{1}{(1-z_0)^{2/3}},$$

$$\varphi = (1-z_0)^{1/3} + \alpha, \quad \psi = (1+z_0)^{1/3} + \alpha.$$

Этим выражением объясняется уменьшение электросопротивления в магнитном поле, линейность эффекта, увеличение эффекта с понижением температуры и, естественно, его изотропия. Следует отметить, что неограниченный рост магнитосопротивления вблизи абсолютно-го нуля не имеет физического смысла, так как должно существовать критическое магнитное поле, обеспечивающее полное заполнение одной из d -подзон и приводящее к насыщению эффекта. Напряженность этого поля зависит от степени обменного расщепления подзон или в конечном итоге от температуры.

Авторы благодарны Г.А.Петраковскому, С.Г.Овчинникову за плодотворное обсуждение результатов работы.

Список литературы

- [1] Белов К.П. УФН **164**, 6, 603 (1994).
- [2] Самохвалов А.А., Факидов И.Г. ФТТ **2**, 3, 414 (1960).
- [3] Babkin E.V., Koval K.P., Pynko V.G. Thin Solid Films **117**, 3, 217 (1984).
- [4] Mott N.F. Proc. Phys. Soc. **47**, 571 (1935).
- [5] Блатт Ф. Физика электронной проводимости в твердых телах. М. (1959). 470 с.